

FIGURE 1 – Réponse d'un filtre passe-bas à un signal crêteau de fréquence $f = 2$ kHz

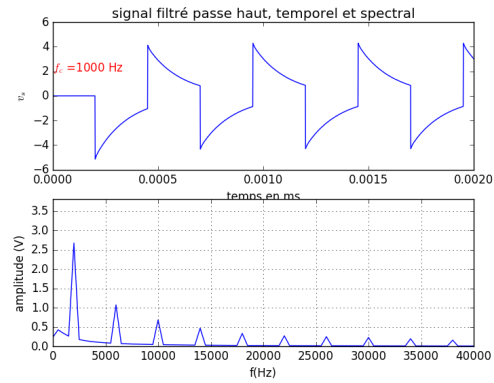


FIGURE 4 – Signal filtré et sa décomposition en séries de FOURIER

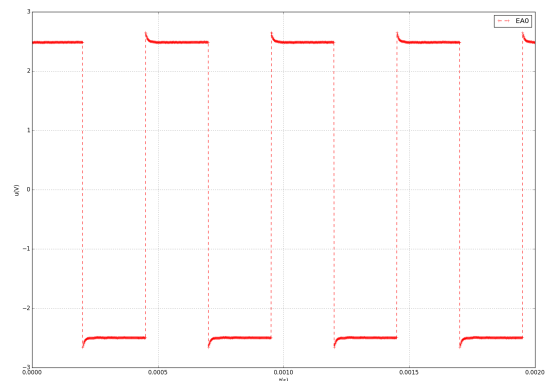
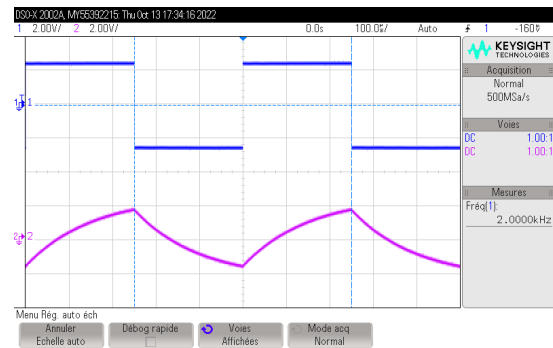
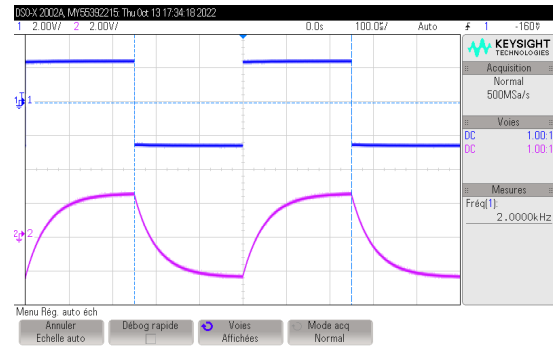


FIGURE 2 – Acquisition du signal crêteau avec $N = 2000$ point et $T_e = 1$ μs



(a)



(b)

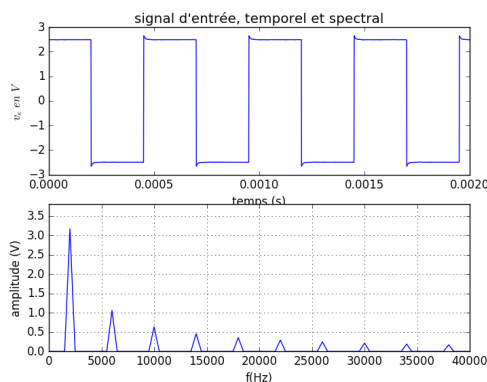
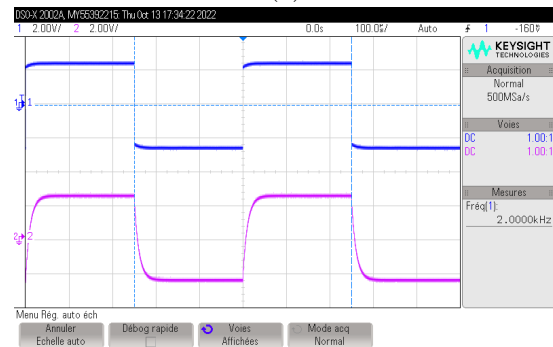


FIGURE 3 – Décomposition en séries de FOURIER du signal crêteau



(c)

FIGURE 5 – Modifications des valeurs de R et C afin de vérifier le caractère pseudo-intégrateur du filtre passe-bas

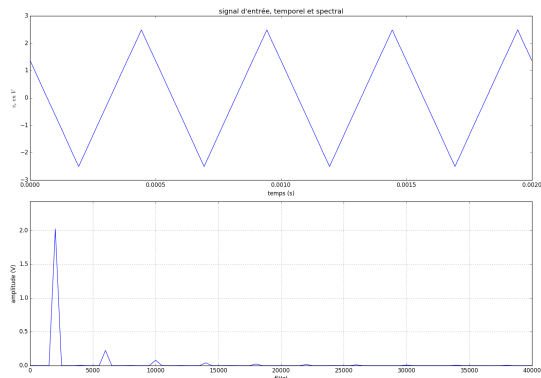


FIGURE 6 – Signal triangulaire d'entrée et sa décomposition en séries de FOURIER

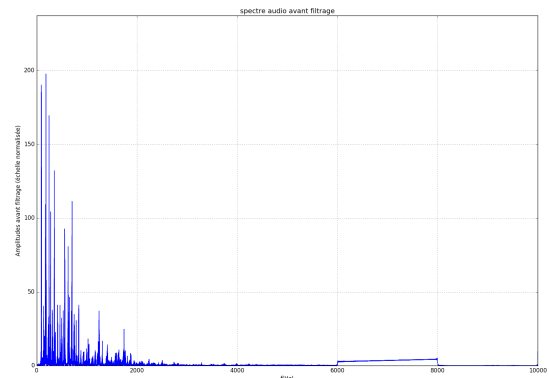


FIGURE 9 – Spectre du signal audio « BACH et gazouillis » avant le filtrage

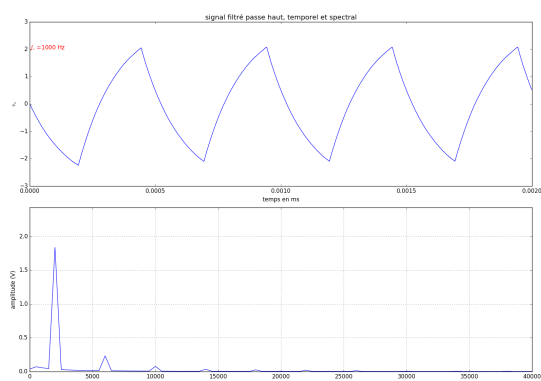


FIGURE 7 – Signal filtré et sa décomposition en séries de FOURIER

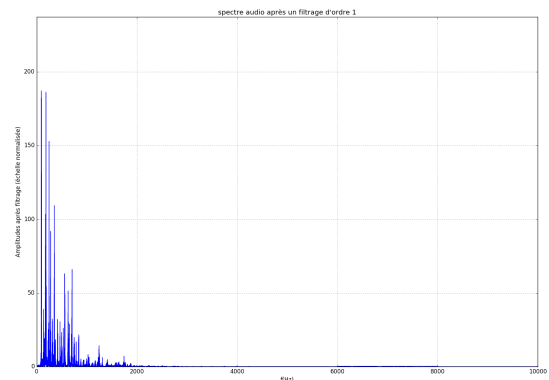


FIGURE 10 – Spectre du signal audio après un filtrage d'ordre 1

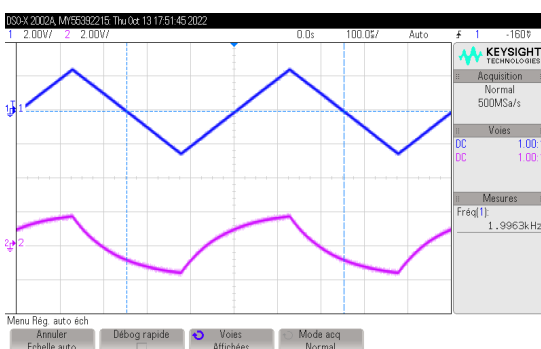


FIGURE 8 – Signal en sortie du filtre analogique

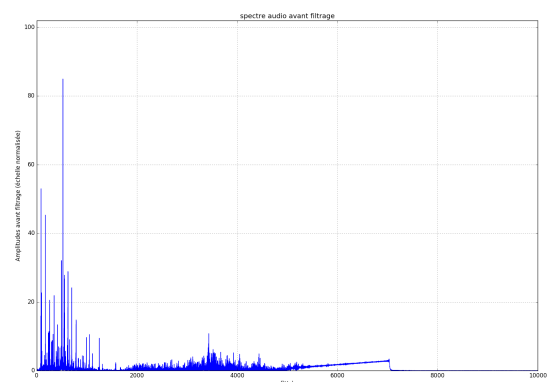


FIGURE 11 – Spectre du signal audio « CHOPIN, pinsons et gazouillis » avant un filtrage d'ordre 2

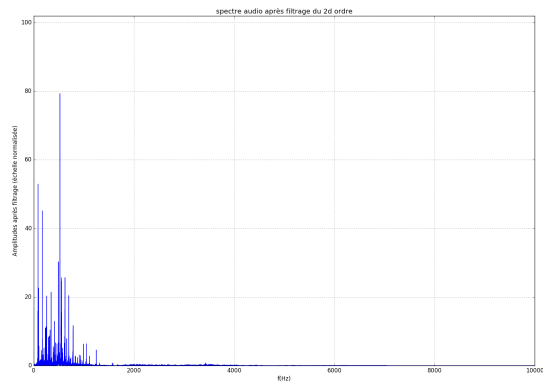
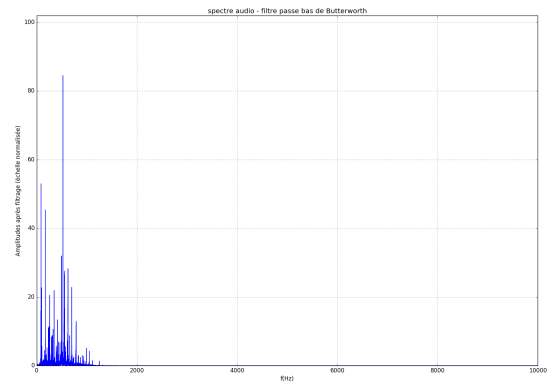


FIGURE 12 – Filtrage du signal avec un filtre passe-bas d'ordre 2

FIGURE 13 – Filtrage du signal avec un filtre passe-bas *Butterworth*